

Simulation numérique de vêtements par le système Masses - Ressorts

Abdeladim BOUDERSA

Numéro CNC : MK114M

Session 2024



(1) Modélisation d'un T-Shirt



(2) Mise en avant des plis sur un tissu



(3) Maillage d'un modèle 3D

Figure 1: Exemples de modélisation numérique d'un tissu

On modélise le système masses-ressorts comme suit :

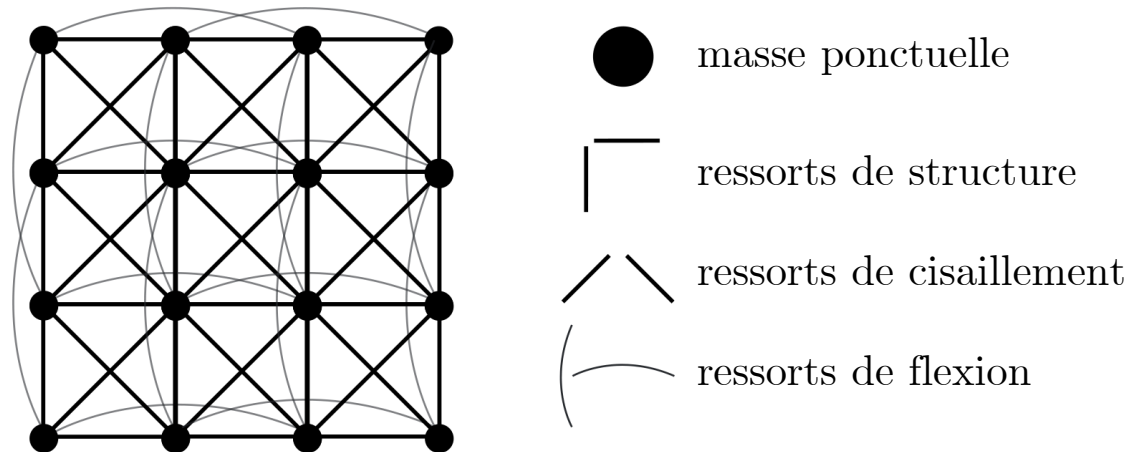


Figure 2: Présentation du modèle Masses-Ressorts

Problématique:

Le modèle masses-ressorts permet-t-il de représenter le comportement mécanique du tissu de manière réaliste en considérant les différentes contraintes auxquelles celui-ci est soumis? Peut-on simuler numériquement ce système ?

- 1) Le comportement dynamique d'une masse du système:
 - Etablissement de l'équation régissant ce comportement.
 - Intégration numérique de cette équation.

- 2) Étude des contraintes que subit le système :
 - L'effet de "Super-Elasticité".
 - Le cisaillement.
 - Les collisions internes.

- 3) Simulation numérique du système Masses-ressorts.

- 4) Conclusion.

Schématisation du système à une masse

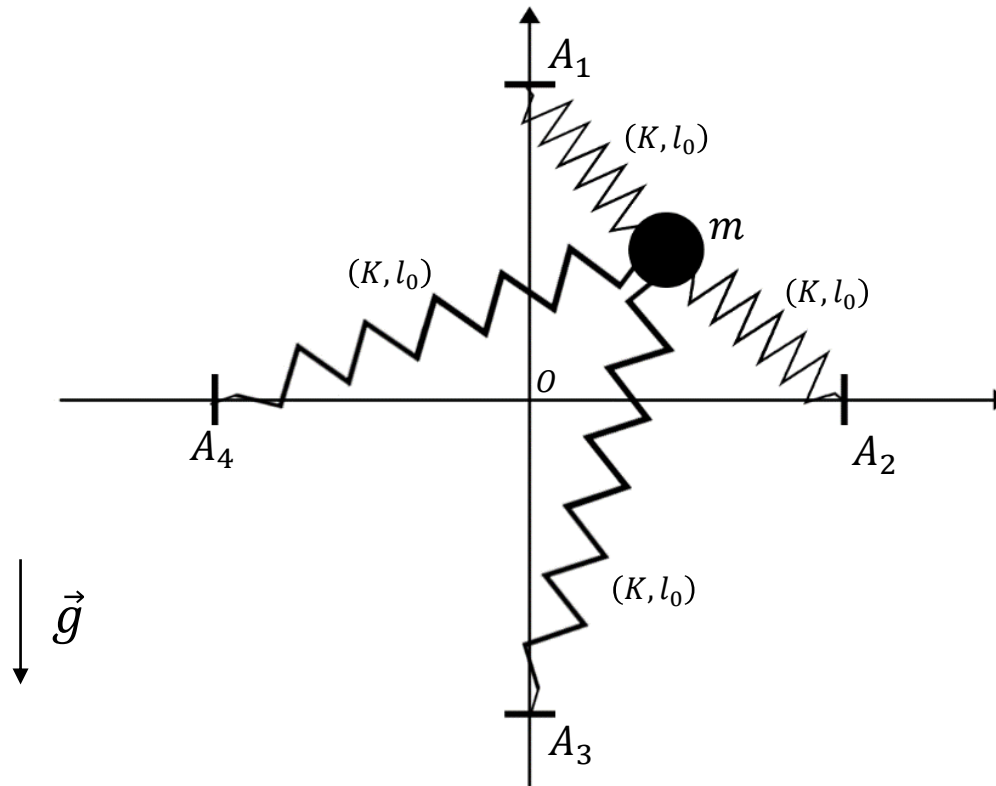


Figure 3: Modèle simplifié d'un système à une masse

- Le Bilan de forces :
 - $\vec{F}_i = -K(\overline{A_iM} - \vec{l}_0)$: Force élastique exercée par le ressort i , de constante de raideur K , et de longueur à vide l_0 .
 - $\vec{f} = -C_{amort} \frac{d\overline{OM}}{dt}$: Force d'amortissement visqueux de coefficient d'amortissement C_{amort} .
 - $\vec{P} = -mg\vec{y}$: Poids de la particule de masse m .

Où : $\overline{OM} = xe_x + ye_y + ze_z$

Soit $p \in \{x, y, z\}$

- On applique le P.F.D au système, on obtient l'équation différentielle suivante :

$$\ddot{p} + \frac{C_{amort}}{m} \dot{p} + \frac{4k}{m} p = \begin{cases} 0, & \text{si } p = x \\ -g, & \text{si } p = y \\ 0, & \text{si } p = z \end{cases}$$

On pose : $\theta = \begin{pmatrix} \dot{p} \\ p \end{pmatrix}$

- On retrouve une équation différentielle de 1^{er} ordre:

$$\dot{\theta} = A \cdot \theta \quad (1)$$

Où: $A = \begin{pmatrix} -\frac{C_{amort}}{m} & -\frac{4k}{m} \\ 1 & 0 \end{pmatrix}$

On résout l'équation différentielle (1) pour chacune des 3 coordonnées, et on trace avec python :

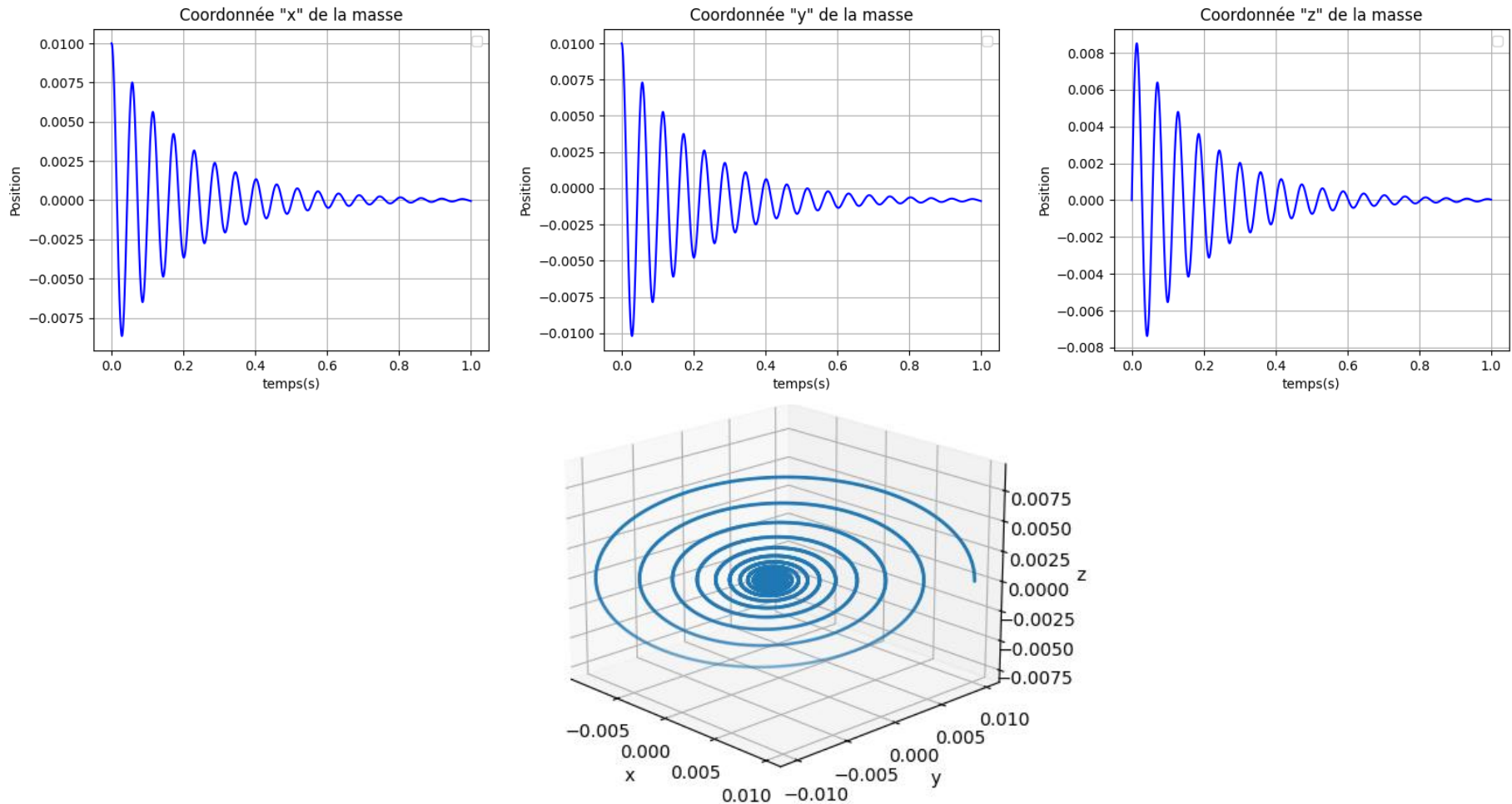


Figure 4: Courbes représentant la position spatiale de la masse en fonction du temps

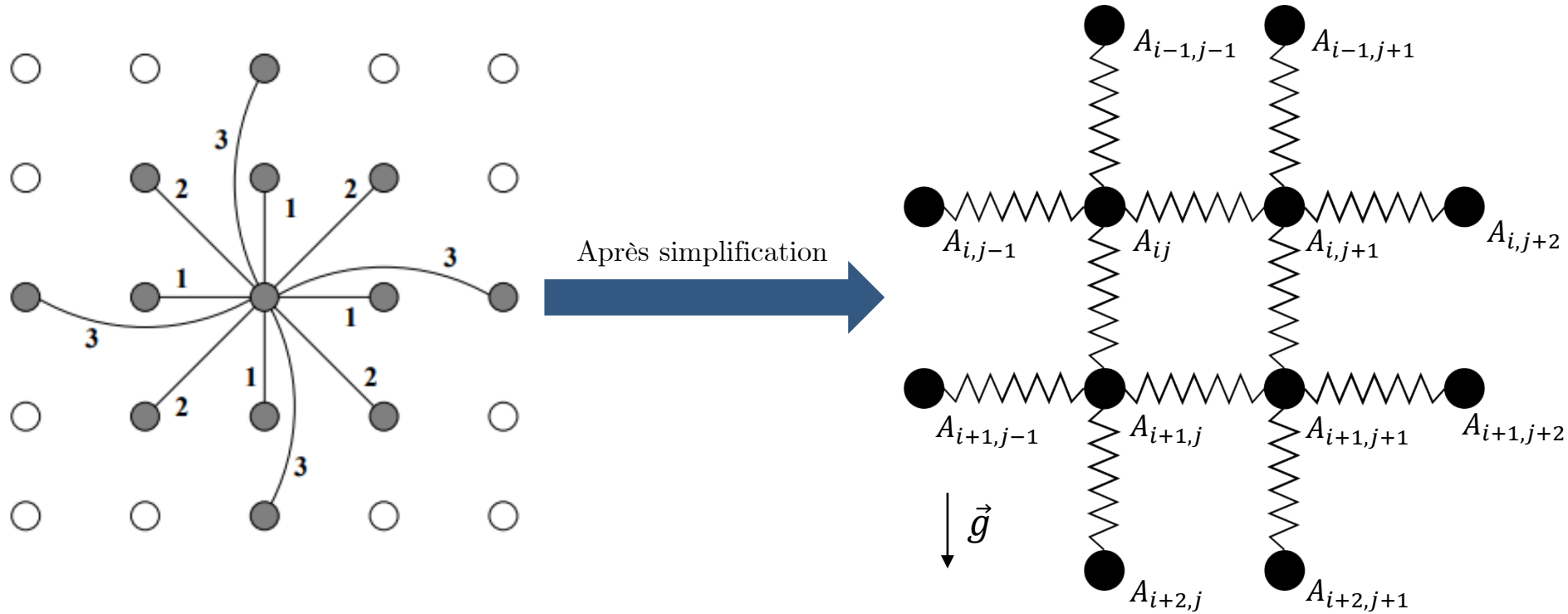


Figure 5: Simplification du modèle

- Considérons le système { masse A_{ij} }
- Le Bilan de forces :
- $\vec{F}_{ijkl} = - \sum_{(k,l) \in \beta} K_{i,j,k,l} (\overrightarrow{A_{ij}A_{kl}} - l_{0_{i,j,k,l}} \overrightarrow{u_{ij}})$: Résultante des forces élastiques appliquées par les ressorts voisins, où:
 - β : est l'ensemble des couple (k, l) tels que A_{kl} est voisin de A_{ij} .
 - $l_{0_{i,j,k,l}}$: longueur à vide du ressort $R_{i,j,k,l}$.
 - $K_{i,j,k,l}$: Constante de raideur du ressort $R_{i,j,k,l}$.
 - $\overrightarrow{u_{ijkl}}$: un vecteur unitaire, tel que: $\overrightarrow{u_{ij}} = \frac{\overrightarrow{A_{ij}A_{kl}}}{\|\overrightarrow{A_{ij}A_{kl}}\|}$
- $\vec{f}_{ij} = -C_{amort} \overrightarrow{v_{ij}}$: Force d'amortissement visqueux de coefficient d'amortissement C_{amort} , où $\overrightarrow{v_{ij}}$ est le vecteur vitesse de A_{ij}
- $\vec{P}_{ij} = -m_{ij} g \vec{y}$: Poids de la particule de masse m_{ij} .

- On applique la 2^{ème} loi de Newton:

$$\ddot{p}_{ij} + \frac{C_{amort}}{m} \dot{p}_{ij} + \frac{k}{m} \sum_{(k,l) \in \beta} \left(1 - \frac{l_{0_{i,j,k,l}}}{\|p_{ij} - p_{kl}\|} \right) \cdot (p_{ij} - p_{kl}) = -g \begin{pmatrix} 0 \\ 1 \\ 0 \end{pmatrix}$$

où: $p_{ij} = \begin{pmatrix} x_{ij} \\ y_{ij} \\ z_{ij} \end{pmatrix}$

- On résout ces équations différentielles couplées par la méthode d'Euler explicite, adaptée au second ordre:

$$\begin{cases} \ddot{p}_{ij}(t) = \frac{1}{m_{ij}} f(t, \dot{p}_{ij}(t), p_{ij}(t)) \\ \dot{p}_{ij}(t + \Delta t) = \dot{p}_{ij}(t) + \Delta t \cdot \ddot{p}_{ij}(t) \\ p_{ij}(t + \Delta t) = p_{ij}(t) + \Delta t \cdot \dot{p}_{ij}(t) \end{cases}$$

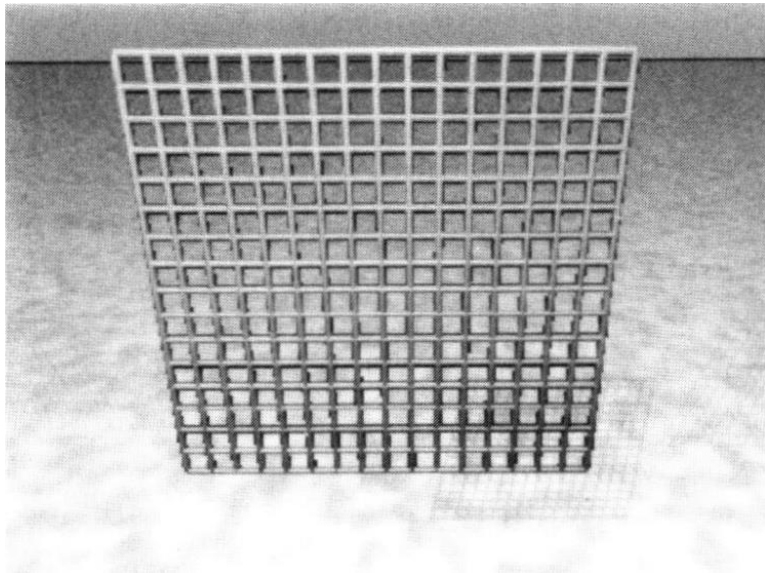
- 1) Le comportement dynamique d'une masse du système:
 - Etablissement de l'équation régissant ce comportement.
 - Intégration numérique de cette équation.

- 2) Étude des contraintes que subit le système :
 - L'effet de "Super-Elasticité".
 - Le cisaillement.
 - Les collisions internes.

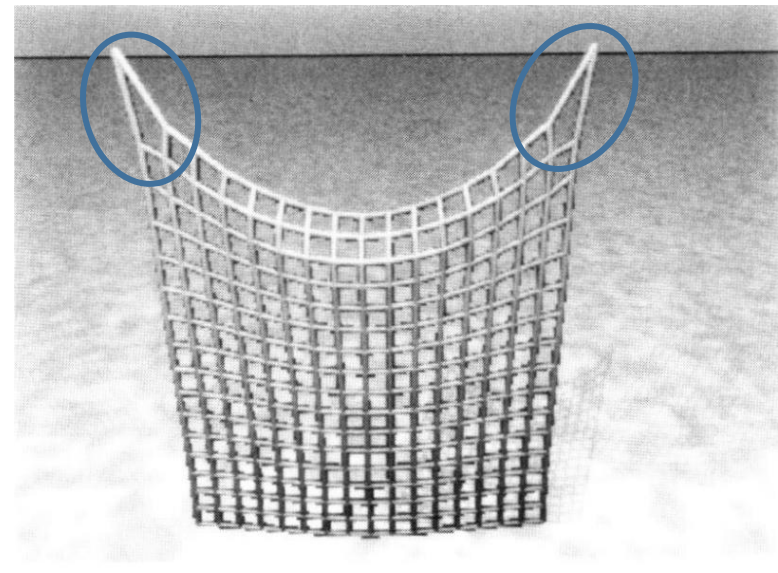
- 3) Simulation numérique du système Masses-ressorts.

- 4) Conclusion.

Mise en avant de l'effet:



(1) Position initiale



(1) Position après plusieurs itérations

Figure 6: Mise en avant de l'effet de "Super-Elasticité"

On constate une élongation importante des ressorts de cisaillement ainsi que ceux de Structure, ce qui diminue le réalisme de la simulation

On peut le résoudre en changeant l'un des deux facteurs : C_{amort} ou K , cependant chacune de ces deux solutions a des avantages et des inconvénients :

	Avantage	Inconvénient
C_{amort}	Corrige les oscillations non voulues, et augmente la stabilité	Augmente la rigidité du système de façon indésirable
K	Diminue le taux de déformation	Nécessite une augmentation de précision et du coût

- La modification de la constante de raideur semble préférable et plus au service du réalisme de la simulation.
- En effet:

On sait que: $\|\vec{F}\| = K \cdot \Delta l \Rightarrow l = \frac{\|\vec{F}\|}{K} + l_0$

Et, on a: $T_0 = 2\pi \sqrt{\frac{m}{K}} \Rightarrow K = \frac{4\pi^2 m}{T_0^2}$

On constate que:

- si K augmente, alors Δl diminue.
- si K augmente, alors T_0 diminue, et par suite Δt aussi.

Le choix de la modification de K permet de corriger la déformation, cependant il nécessite plus d'itérations et donc il y'a augmentation du coût de l'algorithme.

On note π le plan (Oxy)

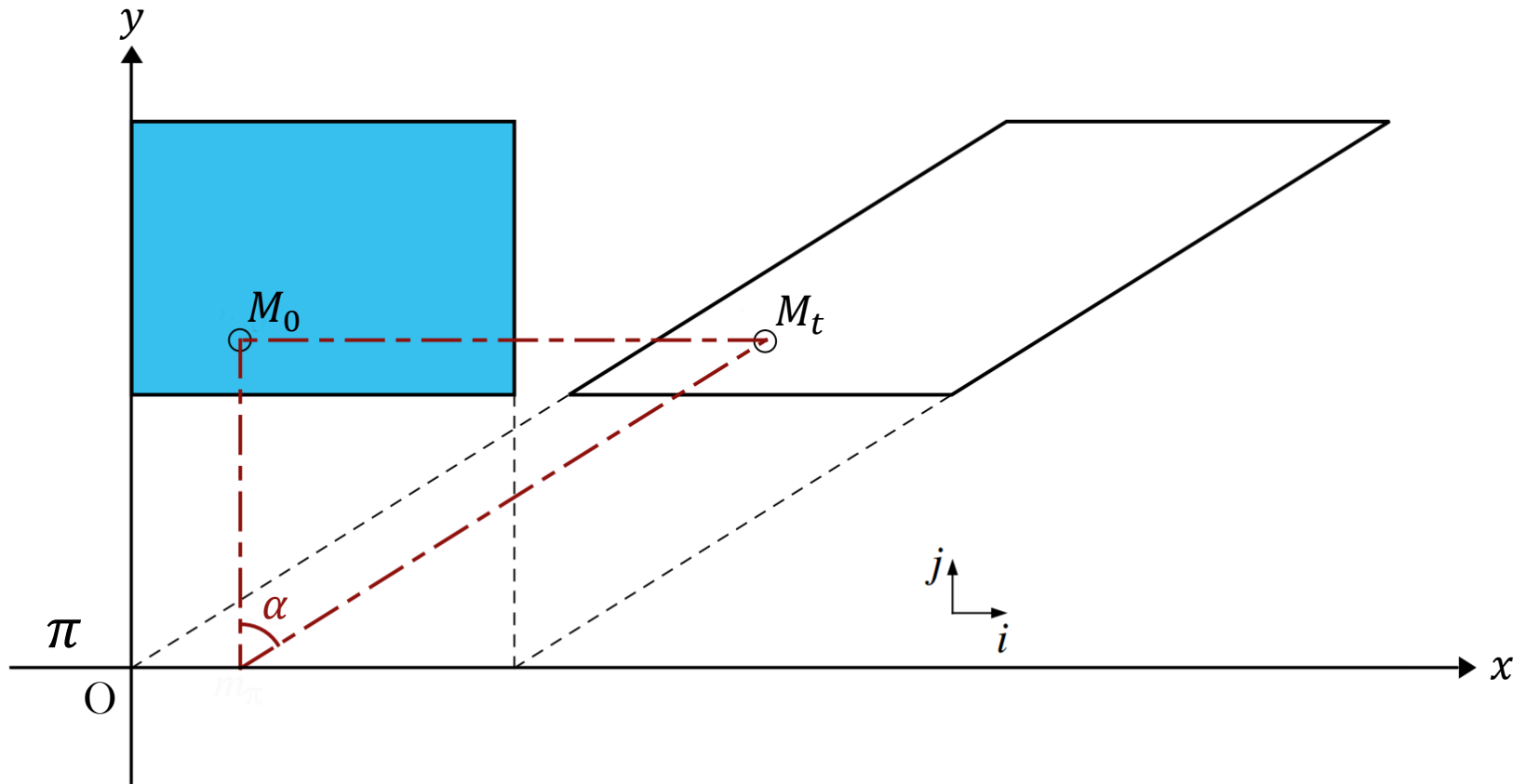


Figure 7: Schématisation du phénomène

- On définit le produit tensoriel de deux vecteurs comme suit :

$$\begin{pmatrix} X_1 \\ X_2 \\ X_3 \end{pmatrix} \otimes \begin{pmatrix} Y_1 \\ Y_2 \\ Y_3 \end{pmatrix} = \begin{pmatrix} X_1 Y_1 & X_1 Y_2 & X_1 Y_3 \\ X_2 Y_1 & X_2 Y_2 & X_2 Y_3 \\ X_3 Y_1 & X_3 Y_2 & X_3 Y_3 \end{pmatrix}$$

- On définit:
 - $K_t = \frac{\|d\overrightarrow{OM}_t\|}{\|d\overrightarrow{OM}_0\|}$: La dilatation linéique
 - $K_s = \frac{\|d\overrightarrow{S}_t\|}{\|d\overrightarrow{S}_0\|}$: La dilatation surfacique

Expression du déplacement élémentaire:

- On note Ψ la translation de rapport $\sigma = \tan(\alpha)$, et de direction \vec{i} , du plan telle que :

$$\Psi(\overrightarrow{OM_0}) = \overrightarrow{OM_t}$$

On a :

$$\overrightarrow{OM_t} = \overrightarrow{OM_0} + \sigma[(\overrightarrow{OM_0} - \overrightarrow{OM_\pi}) \cdot \vec{j}] \vec{i}$$

On a :

$$\boxed{\overrightarrow{OM_t} = \overrightarrow{OM_0} + \sigma[\overrightarrow{OM_0} \cdot \vec{j}] \vec{i}} \quad (2)$$

En différenciant (2), on obtient:

$$\Rightarrow d\overrightarrow{OM_t} = d\overrightarrow{OM_0} + \sigma[d\overrightarrow{OM_0} \cdot \vec{j}] \vec{i}$$

$$\Rightarrow \boxed{d\overrightarrow{OM_t} = d\overrightarrow{OM_0} + \underbrace{\sigma(\vec{i} \otimes \vec{j})}_{\text{Démonstration en annexe}} d\overrightarrow{OM_0}} \quad (3)$$

Démonstration en annexe

Propriétés de la transformation:

D'après (3), on note :

$$F = I_3 + \sigma(\vec{i} \otimes \vec{j}) = \begin{pmatrix} 1 & \sigma & 0 \\ 0 & 1 & 0 \\ 0 & 0 & 1 \end{pmatrix}$$

On a:

- $K_t = \frac{\|d\vec{OM}_t\|}{\|d\vec{OM}_0\|} = \|\vec{u}_0 + \sigma(\vec{u}_0 \cdot \vec{j}) \cdot \vec{i}\|$, où $\vec{u}_0 = \frac{d\vec{OM}_0}{\|d\vec{OM}_0\|}$:

- Si $\vec{u}_0 = \vec{i}$, alors: $\boxed{K_t = 1}$

- Si $\vec{u}_0 = \vec{j}$, alors: $\boxed{K_t = \sqrt{1 + \sigma^2}}$

- $K_s = \frac{\|d\vec{S}_t\|}{\|d\vec{S}_0\|} = \det F$, donc: $\boxed{K_s = 1}$

⏟
Démonstration en annexe

On conclut que :

- Le cisaillement isosurfacique conserve bien l'aire de la surface étudiée ainsi que l'une des 2 directions du plan de la surface.
- Ce phénomène est pris en considération dans le système masses-ressorts par le biais des ressorts de cisaillement.

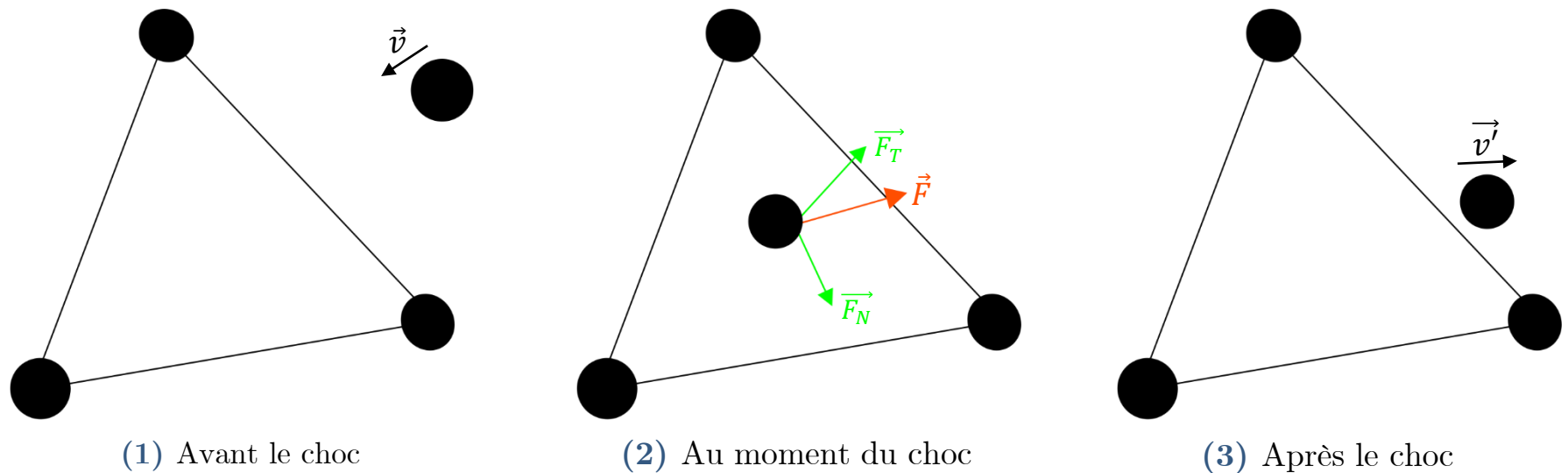


Figure 7: schématisation du choc

On note:

- \vec{N} la normale au triangle ABC au point de contact H
- $\vec{F} = \vec{F}_T + \vec{F}_N$: La force de contact appliquée sur le point H
- \vec{v} : la vitesse de P avant le choc
- \vec{v}' : la vitesse de P après le choc

Lois de Coulomb:

- Si $\|\vec{F}_T\| \geq k_f \|\vec{F}_N\|$, c'est-à-dire qu'il y'a une vitesse de glissement, et un frottement, la force appliquée sur P est donc :

$$\boxed{\vec{F}_S = \vec{F}_T - k_f \|\vec{F}_N\| \cdot \vec{u}_T} \quad (4) \quad , \quad \text{où } \vec{u}_T = \frac{\vec{F}_T}{\|\vec{F}_T\|}$$

- Si $\|\vec{F}_T\| \leq k_f \|\vec{F}_N\|$, il n y'a pas de glissement, donc: $\vec{F}_S = 0$

Expression de la vitesse après le choc :

On fait l'approximation suivante : $\vec{F} \propto \vec{v}$, donc aussi: $\vec{F}_S \propto \vec{v}_T'$

⇒ On peut donc remplacer \vec{F} par \vec{v} dans les lois précédentes

- Il y'a dissipation d'énergie qui se manifeste à travers le coefficient de dissipation $k_d \in [0,1]$, telle que :

$$\vec{v}' = \vec{v}_T' - k_d \vec{v}_N$$

D'après (4) : $\vec{v}_T' = \vec{v}_T - k_f \|\vec{v}_N\| \cdot \vec{u}_T$

Ainsi:

$$\left\{ \begin{array}{ll} \text{Si } \|\vec{v}_T\| \geq k_f \|\vec{v}_N\|, & \vec{v}' = \vec{v}_T - k_f \|\vec{v}_N\| \cdot \vec{u}_T - k_d \vec{v}_N \\ \text{Si } \|\vec{v}_T\| \leq k_f \|\vec{v}_N\|, & \vec{v}' = -k_f \vec{v}_N \end{array} \right.$$

- 1) Le comportement dynamique d'une masse du système:
 - Etablissement de l'équation régissant ce comportement.
 - Intégration numérique de cette équation.

- 2) Étude des contraintes que subit le système :
 - L'effet de "Super-Elasticité".
 - Le cisaillement.
 - Les collisions internes.

- 3) Simulation numérique du système Masses-ressorts.

- 4) Conclusion.



(1) Exemples de Mouvement du tissu



(2) Collision du tissu avec la balle

Figure 8: Résultat de la simulation d'un tissu de taille 128x128 par python

- 1) Le comportement dynamique d'une masse du système:
 - Etablissement de l'équation régissant ce comportement.
 - Intégration numérique de cette équation.

- 2) Étude des contraintes que subit le système :
 - L'effet de "Super-Elasticité".
 - Le cisaillement.
 - Les collisions internes.

- 3) Simulation numérique du système Masses-ressorts.

- 4) Conclusion.

- Le système Masses-Ressorts représente bien le comportement physique le tissu et les contraintes qu'il subit.
- Il permet de ramener l'étude d'un milieu continu complexe à un milieu discret plus simple.
- Ce modèle est l'un des plus faciles à implémenter numériquement. Malgré ses limitations, c'est un compromis entre rapidité et justesse physique.

**MERCI POUR
VOTRE
ATTENTION**

Annexe 1: code python des 4 courbes

```
1 import matplotlib.pyplot as plt
2 import scipy.integrate as sp
3 import numpy as np
4 #On définit les constantes
5 m=1e-3
6 g=9.8
7 k=3
8 c=1e-2
9
10 #On définit les différents équations différentielles
11 def F(x,t):
12     return [(-1/m)*(c*float(x[0])+(4*k)*float(x[1])),float(x[0])]
13 def G(x,t):
14     return [(-1/m)*(c*float(x[0])+(4*k)*float(x[1]))-g,float(x[0])]
15
16 #résolution des E.D par la méthode odeint de scipy.integrate
17 t=np.linspace(0,1,10000)
18 L=sp.odeint(F,[0,1e-2],t)
19 M=sp.odeint(G,[0,1e-2],t)
20 N=sp.odeint(F,[1,0],t)
21 positionx = [L[i][1] for i in range(len(L))]
22 positiony = [M[i][1] for i in range(len(M))]
23 positionz = [N[i][1] for i in range(len(N))]
24
25 #traçage des 3 courbes
26 plt.subplot(131)
27 plt.grid()
28 plt.xlabel('temps(s)')
29 plt.ylabel('Position')
30 plt.title('Coordonnée "x" de la masse')
31 plt.plot(t,positionx,'b-')
32 plt.legend()
33
34 plt.subplot(132)
35 plt.grid()
36 plt.xlabel('temps(s)')
37 plt.ylabel('Position')
38 plt.title('Coordonnée "y" de la masse')
39 plt.plot(t,positiony,'b-')
40 plt.legend()
41
42 plt.subplot(133)
43 plt.grid()
44 plt.xlabel('temps(s)')
45 plt.ylabel('Position')
46 plt.title('Coordonnée "z" de la masse')
47 plt.plot(t,positionz,'b-')
48 plt.legend()
49
50 plt.show()
```

```
#traçage de la courbe en 3D
ax=plt.axes(projection='3d')
plt.grid()
ax.scatter(positionx,positiony,positionz,s=1)
ax.set_xlabel('x')
ax.set_ylabel('y')
ax.set_zlabel('z')
plt.title('Coordonnée "z" de la masse')
plt.legend()

plt.show()
```

Soit \vec{v} un vecteur, on a:

$$(\vec{i} \otimes \vec{j}) \cdot \overrightarrow{OM_0} = \begin{pmatrix} 0 & 1 & 0 \\ 0 & 0 & 0 \\ 0 & 0 & 0 \end{pmatrix} \cdot \overrightarrow{OM_0} = \begin{pmatrix} \overrightarrow{OM_0} \cdot \vec{j} \\ 0 \\ 0 \end{pmatrix}$$
$$(\overrightarrow{OM_0} \cdot \vec{j}) \vec{i} = \begin{pmatrix} \overrightarrow{OM_0} \cdot \vec{j} \\ 0 \\ 0 \end{pmatrix}$$

On considère deux déplacements élémentaires de M_0 : $d\overrightarrow{OM}_0 = \begin{pmatrix} x_1 \\ x_2 \\ 0 \end{pmatrix}$ et $d\overrightarrow{OM}_0' = \begin{pmatrix} y_1 \\ y_2 \\ 0 \end{pmatrix}$

On a pour : $F = \begin{pmatrix} 1 & \sigma & 0 \\ 0 & t & 0 \\ 0 & 0 & 1 \end{pmatrix}$

Donc :

$$\begin{aligned} d\overrightarrow{S}_t &= d\overrightarrow{OM}_t \wedge d\overrightarrow{OM}_t' \\ &= F \cdot d\overrightarrow{OM}_0 \wedge F \cdot d\overrightarrow{OM}_0' \\ &= \begin{pmatrix} x_1 + \sigma x_2 \\ tx_2 \\ 0 \end{pmatrix} \wedge \begin{pmatrix} y_1 + \sigma y_2 \\ ty_2 \\ 0 \end{pmatrix} \\ &= \begin{pmatrix} 0 \\ 0 \\ t(x_1 y_2 - x_2 y_1) \end{pmatrix} \\ &= t \begin{pmatrix} 0 \\ 0 \\ (x_1 y_2 - x_2 y_1) \end{pmatrix} \\ &= \det F \cdot d\overrightarrow{OM}_0 \wedge d\overrightarrow{OM}_0' \\ &= \det F \cdot d\overrightarrow{S}_0 \end{aligned}$$

Annexe 3: Code complet de la simulation

```
1 import taichi as ti
2 ti.init(arch=ti.cuda)
3 #cette caractéristique de taichi lui permet de lire le code par le biais du gpu
4
5 n = 128
6 quad_size = 1.0 / n #taille d'un carré contenant 4 masses
7 dt = 4e-2 / n #pas temporel
8 substeps = int(1 / 100 // dt)
9
10 #On définit les constantes physiques
11 gravité = ti.Vector([0, -9.8, 0])
12 ressort_Y = 3e4
13 amortissement_relatif = 1e4 #due au mvt relative entre 2 masses
14 amortissement_visq = 1 #due à l'amortissement comme étudié précédemment
15
16 #Création de la balle
17 rayon = 0.3
18 centre = ti.Vector.field(3, dtype=float, shape=(1, ))
19 centre[0] = [0, 0, 0]
20
21 #x (resp v) est un champ 2D de taille n x n dont les éléments sont des vecteurs
22 #de taille 3 représentant les positions (resp.les vitesses) des masses ponc.
23 x = ti.Vector.field(3, dtype=float, shape=(n, n))
24 v = ti.Vector.field(3, dtype=float, shape=(n, n))
25
26 num_triangles = (n - 1) * (n - 1) * 2
27 #champ 1D stockant les indices des sommets pour construire le maillage.
28 indices = ti.field(int, shape=num_triangles * 3)
29 #champ 1D stockant les coordonnées des sommets pour construire le maillage.
30 coord = ti.Vector.field(3, dtype=float, shape=n * n)
31 couleurs = ti.Vector.field(3, dtype=float, shape=n * n)
32
33 ressorts_flexion = False
34 ##
```

```
34 ##
35 #Initialisation du maillage
36 @ti.kernel
37 def initialisation_masses():
38
39 #on centre les masses au dessus du ballon :
40 for i, j in x:
41     x[i, j] = [
42         i * quad_size - 0.5, 0.6,
43         j * quad_size - 0.5
44     ]
45     v[i, j] = [0, 0, 0]
46
47
48 @ti.kernel
49 def initialisation_indices():
50     for i, j in ti.ndrange(n - 1, n - 1):
51         carre_id = (i * (n - 1)) + j
52         # 1er triangle du carré
53         indices[carre_id * 6 + 0] = i * n + j
54         indices[carre_id * 6 + 1] = (i + 1) * n + j
55         indices[carre_id * 6 + 2] = i * n + (j + 1)
56         # 2eme triangle du carré
57         indices[carre_id * 6 + 3] = (i + 1) * n + j + 1
58         indices[carre_id * 6 + 4] = i * n + (j + 1)
59         indices[carre_id * 6 + 5] = (i + 1) * n + j
60
61     for i, j in ti.ndrange(n, n):
62         couleurs[i * n + j] = (0, 0.334, 0.92)
63
64     initialisation_indices()
65 ##
```

```

65 ##
66 #une liste qui contient les indice des masses voisines de (0,0), il y'en a 12
67 #si les ressorts de flexion sont pris en compte alors il y'a 12 masses voisines
68 #sinon il y'en a 9
69 indices_vois = []
70 if ressorts_flexion:
71     for i in range(-1, 2):
72         for j in range(-1, 2):
73             if (i, j) != (0, 0):
74                 indices_vois.append(ti.Vector([i, j]))
75
76 else:
77     for i in range(-2, 3):
78         for j in range(-2, 3):
79             if (i, j) != (0, 0) and abs(i) + abs(j) <= 2:
80                 indices_vois.append(ti.Vector([i, j]))
81
82 #cette fonction permet d'exprimer l'effet des 4 facteur sur la position et la
83 #vitesse de chaque masse ponctuelle
84 @ti.kernel
85 def substep():
86     #1.poids de chaque masse
87     #on traverse la liste X comme un champ 1D ou une liste de taille nxm
88     for i in ti.grouped(x):
89         v[i] += gravité * dt
90
91     for i in ti.grouped(x):
92         force = ti.Vector([0.0, 0.0, 0.0])
93         for spring_offset in ti.static(indices_vois):
94             j = i + spring_offset
95             if 0 <= j[0] < n and 0 <= j[1] < n:
96                 x_ij = x[i] - x[j] #vecteur xij
97                 v_ij = v[i] - v[j] #vecteur vij
98                 d = x_ij.normalized()
99                 current_dist = x_ij.norm() #norme du vecteur xij
100                 original_dist = quad_size * float(i - j).norm()
101                 #2.force appliquée par les ressorts (allongement relatif)
102                 force += -ressort_Y * d * (current_dist / original_dist - 1)
103                 #2.amortissement du mvt relatif entre 2 masses
104                 force += -v_ij.dot(d) * d * amortissement_relatif * quad_size
105
106         v[i] += force * dt
107
108     for i in ti.grouped(x):
109         #3.force d'amortissement visqueux
110         v[i] *= ti.exp(-amortissement_visq * dt)
111         #4.Collision avec la balle
112         distance_au_centre = x[i] - centre[0]
113         if distance_au_centre.norm() <= rayon:
114             #projection de la vitesse
115             normal = distance_au_centre.normalized()
116             v[i] -= min(v[i].dot(normal), 0) * normal
117         x[i] += dt * v[i]
118 ##

```

```

118 ##
119 #mise à jour de la position des masses
120 #le terme i*n+j est du au fait qu'on accède à l'indice [i,j] sur un champ 1D
121 @ti.kernel
122 def maj_coord():
123     for i, j in ti.ndrange(n, n):
124         coord[i * n + j] = x[i, j]
125
126 #on définit l'espace ou sera visualisée la simulation
127 window = ti.ui.Window("Taichi Cloth Simulation on GGUI", (1024, 1024))
128 canvas = window.get_canvas()
129 canvas.set_background_color((1, 1, 1))
130 scene = ti.ui.Scene()
131 camera = ti.ui.Camera()
132
133 temps = 0.0
134 initialisation_masses()
135
136 while window.running:
137     if temps > 1.5:
138         # prochaine itération (boucle)
139         initialisation_masses()
140         temps = 0
141 #maj de l'état de système à chaque pas de temps
142 for i in range(substeps):
143     substep()
144     temps += dt
145     maj_coord()
146
147     camera.position(0.0, 0.0, 2.5)
148     camera.lookat(0.0, 0.0, 0)
149     scene.set_camera(camera)
150
151     scene.point_light(pos=(0, 1, 2), color=(1, 1, 1))
152     scene.ambient_light((0.5, 0.5, 0.5))
153     scene.mesh(coord,
154                 indices=indices,
155                 per_vertex_color=couleurs,
156                 two_sided=True)
157
158 # On dessine une balle plus petite pour éviter les penetrations visuelles
159 scene.particles(centre, radius=rayon * 0.95, color=(0.8, 0.8, 0.8))
160 canvas.scene(scene)
161 window.show()

```